

京都大学 正員 富 昭治郎
京都大学 正員 太田 翁樹
京都大学 正員 深川 良一

1. 緒論

プレッシャーメータ試験はその載荷方向から水平方向の弾性定数を決定する場合に有効であると考えられるが、鉛直方向に対する弾性定数との相関性を明らかにできれば、プレッシャーメータ試験はさらに有効に利用できる。ここでは砂地盤を対象とし、平板載荷試験や実際の構造物の沈下から逆算した弾性定数とプレッシャーメータ試験から求められた弾性定数とを比較し、相関性の抽出を試みている。

2. 実際地盤の沈下より逆算された弾性定数 E_v

砂地盤の鉛直載荷に対する弾性定数 E_v を決定する場合、通常砂地盤に対して最も良く用いられる標準貫入試験の結果 (N 値) が利用できることが望ましい。そこでその載荷機構の類似性からより真実の E_v に近い値を与えると考えられる平板載荷試験や実際の構造物の沈下から逆算された E_v を N 値に対してプロットしてみると(図 1)。ここで E_v は Janbu et al. (1964) により(1)式を利用して決定し、Schultze-Sherif (1973) の集積したデータを用いた。

$$E_v = \mu_0 \mu_1 \cdot g B / S_i \quad (1)$$

ここで、 S_i : 即時沈下量、 g : 平均荷重、 B : 基礎幅、 μ_0 : 根入土深さと基礎幅との比 D/B および基礎の長さと幅の比 L/B とに依って決まる係数、 μ_1 : L/B および基礎底面から堅い地層までの深さと基礎幅の比 H/B とに依って決まる係数である。図 1 で 50 より大きな N 値は 30cm 貫入に必要な N 値として外挿的に求められており、また上載圧に対する補正などは加えていない。図 1 には同時に D'Appolonia et al. (1970) の提案している関係直線を示す。彼らは、① 正確圧密された砂土では砂でも地盤 $- E = 74(N+26) \text{ (t/m}^2)$ 、② 過圧密または締固めを施した砂地盤 $- E = 102(N+41) \text{ (t/m}^2)$ の 2 本の直線に沿って分布するとは言い難いようである。いずれにしても N 値から一義的に E_v を決定するにはバラつきが大きすぎるとされる。

3. プレッシャーメータ試験より求めた弾性定数 E_{PM}

実験の容易さから N 値に次いで E_v 決定の有効な手段であると考えられるプレッシャーメータ試験から求めた

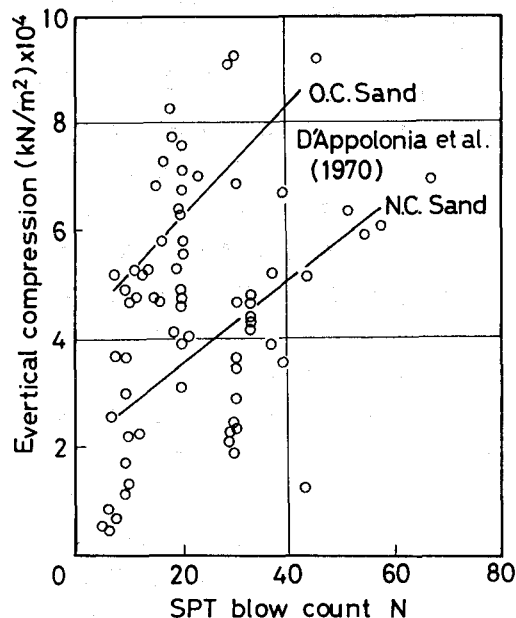


図 1. 実際地盤の沈下より逆算された E_v ~ N 値

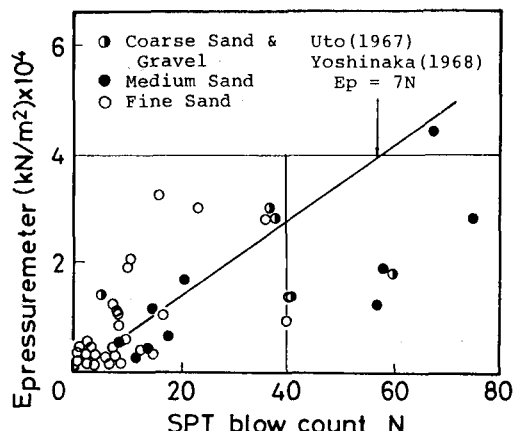


図 2. E_{PM} ~ N 値

E_{PM} をN値に対してプロットしてみると(図2)。 θ レッシャーメータ試験は全てプレボーリングタイプのものであり、8現場で行われた試験結果を利用している。 E_{PM} は弾性論に于ける(2)式を用いて計算している。

$$\Delta \delta_i = E_{PM} / (1 + v) \cdot \Delta (u_i / v) \quad (2)$$

ここに、 $\Delta \delta_i$: 注水圧の基準状態からの増分、 v : ポアソン比、 u_i : θ レッシャーメータ壁面荷重、 v : θ レッシャーメータ半径である。 v は深川ら(1983)より $v=0.5$ と仮定して E_{PM} を算定している。参考までに宇都(1967)、吉中の提案した $E_{PM}=7N$ (kgf/cm^2) という関係直線も図2中に示している。 E_V と同様 E_{PM} もバラつきが大きいことがわかるが、 $E_{PM}=7N$ に比較的沿うデータ群とそれから傾向的にずれるデータ群とがあるようである。また図2では色々対象とした地盤の平均的粒径を砂礫・粗砂・中砂・細砂と大まかに分類している。細砂はシルト質砂、粘土混り砂などを含む。粒径と $E_{PM} \sim N$ 関係との明確な相関を指摘可否については困難であると思われる。結局図1,2の結果はN値のみから E_V を決定することは困難であることを示唆している。

4. E_V と E_{PM} との相関性

ここで図1,2のデータ群が原点を通る直線によって近似されるといふ仮定のもとに整理を行ってみる。図3に示すように θ をとり、 θ を0度から90度まで5度毎に区切り、図1,2で各々のビームに存在するプロットの度数を百分率で表したもののが図4である。 E_V , E_{PM} はともに明瞭な2つのピークを持つことがわかる。これらは例えば D'Appolonia et al.(1970) の指摘する2種類の地盤に対応するものであると考えることができよう。つまり各々、小さい方のピークが正規圧密砂・砂利地盤に、大きい方のピークが過圧密砂・締め地盤に対応する。そこで図4に E_V と E_{PM} の各々に対するピーク時の係数 E/N の比をとることとする。小さい方のピークで。

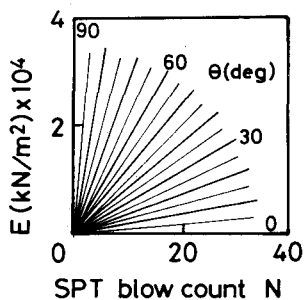


図3. θ に対する $E \sim N$ 面のビーニング

$$\frac{E_V}{E_{PM}} = \frac{\tan 52.5^\circ}{\tan 35^\circ} \approx 4.9$$

大きい方のピークで。

$$\frac{E_V}{E_{PM}} = \frac{\tan 75^\circ}{\tan 35^\circ} \approx 5.3$$

とではあることがわかる。つまり地盤がどちらの状態であれば、 E_{PM} をおよそ5倍すれば E_V が得られるに見える。勿論この5倍といふ仮説より下の幅を持ってて E_V / E_{PM} を代表する値に過ぎないし、またN値の精度やプレッシャーメータ試験の際の孔壁の剥離など E_V / E_{PM} に影響を及ぼす要因は多いくれど、実用的には一応の目安にはなりうるものと考えていい。

5. 結論

プレッシャーメータ試験から得られた弾性定数を5倍することにより砂地盤の鉛直載荷に対する弾性定数を得ることができる。

b. 参考文献

- Janbu, N., L. Bjerrum & B. Kjaernsli, NGI Pub., No.16, P.32, 1964.
- Schultze & G. Sherif, Proc. 8th ICSMFE, Vol.1, No.3, PP225-230, 1973.
- D'Appolonia, D.J., E. D'Appolonia & R.F. Bris et al., Proc. ASCE, Vol.96, SM2, PP754-762, 1970.
- 宇都, 構造物の基礎, 土木学会関東支部, P46, 1967.
- 吉中, 工科技術資料, 10-1, 1968

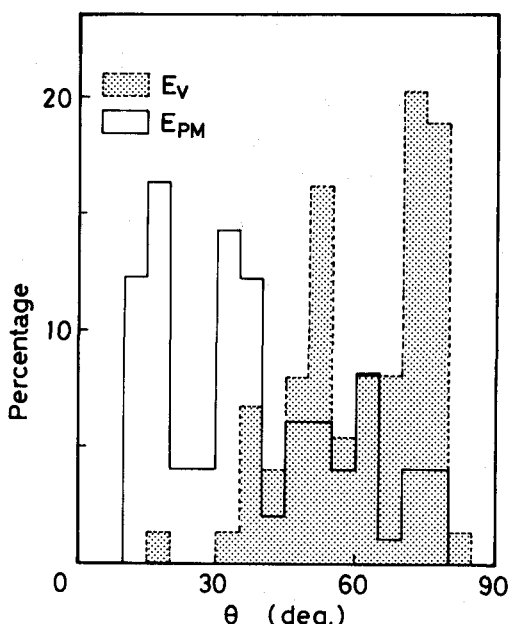


図4. 弹性定数とN値の比の頻度分布

• 深川・志村・太田・島、第4回工学研究発表会、1983